

Αριστοτέλειο Πανεπιστήμιο Θεσσαλονίκης  
Τμήμα Ηλεκτρολόγων Μηχανικών και Μηχανικών Υπολογιστών



# Προσομοίωση και Μοντελοποίηση Δυναμικών Συστημάτων

1<sup>η</sup> Εργασία

Τουτζίαρης Γεώργιος ΑΕΜ 10568.

Θέμα 1°

Ερώτημα Α

Δοσμένου του σχήματος μάζας-ελατηρίου-αποσβεστήρα του παραπάνω σχήματος, θα χρησιμοποιήσουμε φυσικούς νόμους για την περιγραφή του συστήματος, με παραμέτρους προς εκτίμηση την μάζα  $m$ , την σταθερά του ελατηρίου  $k$  και την σταθερά του αποσβεστήρα  $b$ .

Αν θεωρήσουμε ότι το αρχικό μήκος  $l_0=0$ , και κάνοντας χρήση του 2<sup>ου</sup> νόμου του Νεύτωνα έχουμε:

$$\Sigma F = m \ddot{y} \Leftrightarrow u - ky - b\dot{y} = m \ddot{y} \Leftrightarrow m\ddot{y} + b\dot{y} + ky = u \Leftrightarrow \ddot{y} + \frac{b}{m}\dot{y} + \frac{k}{m}y = \frac{1}{m}u$$

Απομονώνοντας την 2<sup>η</sup> χρονική παράγωγο του  $y$  προκύπτει:

$$\ddot{y} + \frac{b}{m}\dot{y} + \frac{k}{m}y = \frac{1}{m}u$$

Εφαρμόζοντας γραμμική παραμετροποίηση με  $\theta^*$  το διάνυσμα των παραμέτρων και  $\Delta$  το διάνυσμα εισόδων και εξόδων έχουμε:

$$\theta^* = \left[ \frac{b}{m} \quad \frac{k}{m} \quad \frac{1}{m} \right]^T = [\theta_1^* \quad \theta_2^*]^T, \Delta = [-\dot{y} \quad -y \quad u]^T$$

Πλέον έχουμε φέρει το σύστημα στην μορφή

$$\ddot{y} = \theta^{*T} \Delta$$

Θα χρησιμοποιήσουμε, τώρα, ένα ευσταθές φίλτρο της μορφής  $\frac{1}{\Lambda(s)}$ , με

$$\Lambda(s) = s^2 + \lambda_1 s + \lambda_2 = s^2 + 4s + 2$$

Το νέο σύστημα είναι το

$$y = \theta_\lambda^T \zeta$$

Όπου

$$\theta_{\lambda}^T = \left[ \theta_1^{*T} - \lambda^T \quad \theta_2^{*T} \right]^T = \left[ \frac{b}{m} - 4 \quad \frac{k}{m} - 2 \quad \frac{1}{m} \right]^T$$

Και

$$\zeta = \begin{bmatrix} -\frac{\Delta_1^T(s)}{\Lambda(s)}y & \frac{\Delta_0^T(s)}{\Lambda(s)}u \end{bmatrix}^T = \begin{bmatrix} -\frac{[s \ 1]^T}{\Lambda(s)}y & \frac{1}{\Lambda(s)}u \end{bmatrix}^T =$$

$$\begin{bmatrix} -\frac{s}{\Lambda(s)}y & -\frac{1}{\Lambda(s)}y & \frac{1}{\Lambda(s)}u \end{bmatrix}^T$$

Ερώτημα Β

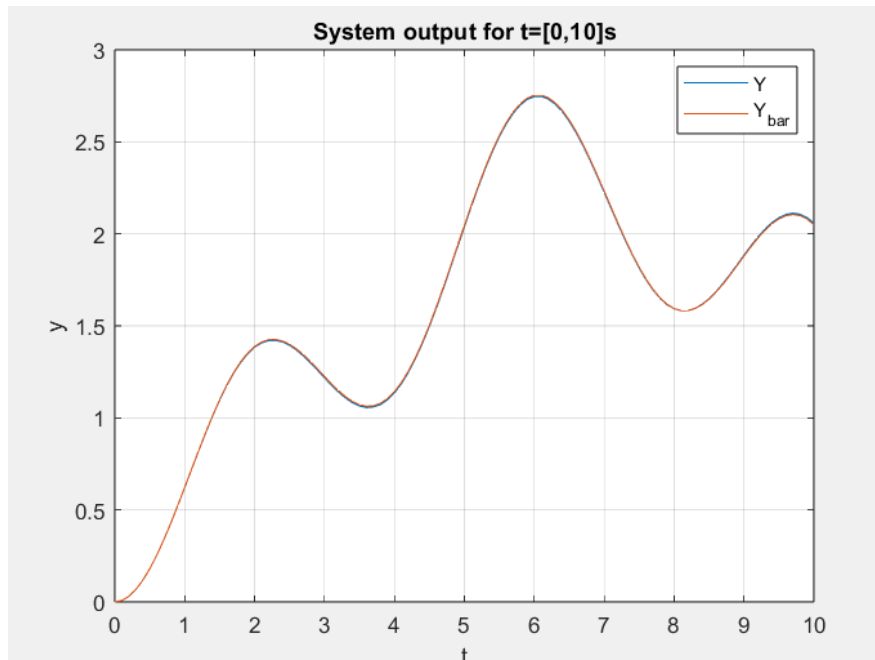
Έχοντας παραμετροποιήσει γραμμικά το σύστημα, πλέον μπορούμε να εφαρμόσουμε την *Μέθοδο Ελαχίστων Τετραγώνων* για την εκτίμηση των άγνωστων παραμέτρων.

Αν  $\mathbf{Y}$  είναι ένα γνωστό διάνυσμα μετρήσεων και  $\Phi$  είναι ένας πίνακας με δεδομένα εισόδου και εξόδου, τότε μπορούμε να υπολογίσουμε το διάνυσμα  $\theta_0$ , το οποίο ελαχιστοποιεί το σφάλμα πρόβλεψης, μέσω του τύπου:

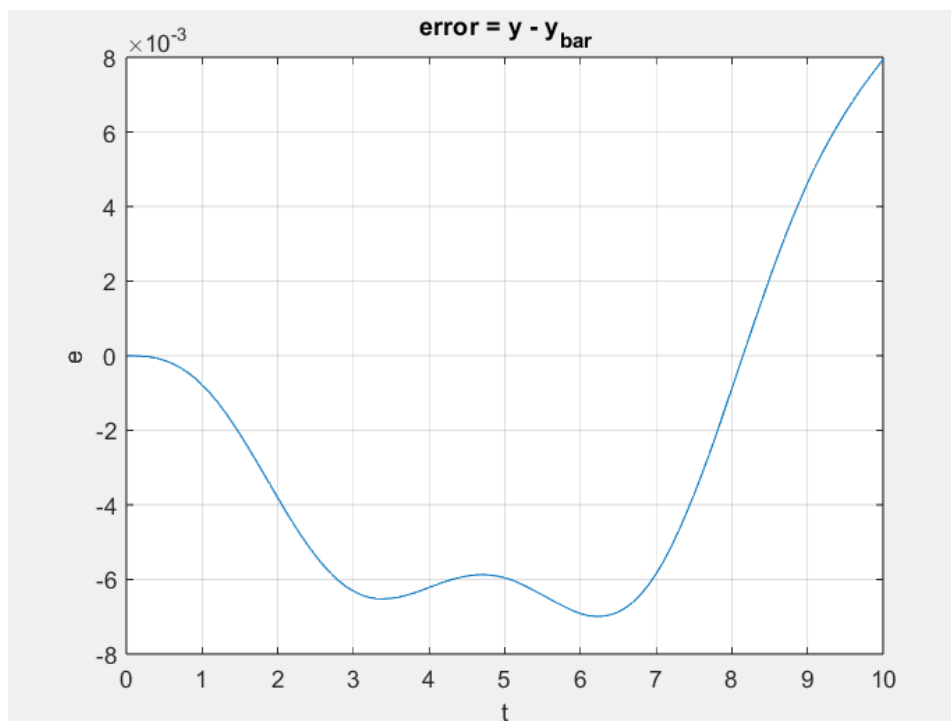
$$\theta_0^T \Phi^T \Phi = \mathbf{Y}^T \Phi$$

Ερώτημα Γ

Οι τιμές του  $\mathbf{Y}$  που θα χρησιμοποιηθούν για την εκτίμηση των παραμέτρων θα παραχθούν από την συνάρτηση **ode45** του **Matlab**. Εφαρμόζοντας την *Μέθοδο Ελαχίστων Τετραγώνων* στο γραμμικά παραμετροποιημένο σύστημα για τιμές εξόδου το διάνυσμα  $\mathbf{Y}$ , προκύπτουν τα εξής γραφήματα:



Γράφημα 1: Τιμές της εξόδου της προσομοίωσης ( μπλέ γραμμή) και του συστήματος μετά την εκτίμηση των παραμέτρων (κόκκινη γραμμή) για τις διάφορες χρονικές στιγμές.



Γράφημα 2: Τιμή του σφάλματος για τις διάφορες χρονικές στιγμές.

Παρατηρούμε ότι οι εκτιμώμενες τιμές του  $\gamma$  συμπίπτουν με τις τιμές που έδωσε η προσομοίωση, καθώς οι 2 γραφικές παραστάσεις είναι ταυτόσημες.

Επίσης, το σφάλμα τιμών προσομοίωσης μείον πραγματικών τιμών παραμένει σε ένας εύρος της τάξης του  $10^{-3}$ , το οποίο είναι αρκετά ικανοποιητικό για τις περισσότερες εφαρμογές.

Ο αλγόριθμος επιστρέφει το διάνυσμα

-3.9268	-1.7645	0.1177
---------	---------	--------

Όμως

$$\theta_{\lambda}^T = \left[ \frac{b}{m} - 4 \quad \frac{k}{m} - 2 \quad \frac{1}{m} \right]^T$$

Άρα με αντικατάσταση και επίλυση του συστήματος προκύπτει:

$$\begin{cases} \frac{b}{m} - 4 = -3.9268 \\ \frac{k}{m} - 2 = -1.7645 \\ \frac{1}{m} = 0.1177 \end{cases} \Rightarrow \begin{cases} m = 8.4961 \\ k = 2.0008 \\ b = 0.6219 \end{cases}$$

Παρατηρούμε ότι οι εκτιμήσεις των παραμέτρων με την *Μέθοδο ελαχίστων τετραγώνων* είναι πολύ κοντά στις τιμές των ορισμάτων της ode45.

Θέμα 2°

Αρχικά θα γίνει κυκλωματική ανάλυση του συστήματος.

Γνωρίζουμε ότι οι σχέσεις τάσης-ρεύματος για το πηνίο και τον πυκνωτή είναι:

$$V = L * \frac{di}{dt}$$

$$I = C * \frac{dv}{dt}$$

Θεωρώντας  $I_1$  το ρεύμα που διαρρέει τον πάνω βρόχο και αντίστοιχα  $I_2$  το ρεύμα που διαρρέει τον κάτω βρόχο έχουμε:

$$I_1 = \frac{V_R}{R}, I_2 = C \dot{V}_C$$

Εφαρμόζοντας νόμο τάσεων του *Kirchhoff* στον πάνω βρόχο έχουμε:

$$\begin{aligned} u_1(t) &= V_R + L\dot{I}_1 - L\dot{I}_2 = V_R + L\frac{\dot{V}_R}{R} - LC\ddot{V}_C \Leftrightarrow \\ u_1(t) &= V_R + L\left(\frac{\dot{V}_R}{R} - C\ddot{V}_C\right) \quad (1) \end{aligned}$$

Ομοίως, για τον κάτω βρόχο παίρνουμε:

$$\begin{aligned} u_2(t) &= V_C + L\dot{I}_2 - L\dot{I}_1 = V_C + LC\ddot{V}_C - L\frac{\dot{V}_R}{R} \Leftrightarrow \\ u_2(t) &= V_C - L\left(\frac{\dot{V}_R}{R} - C\ddot{V}_C\right) \quad (2) \end{aligned}$$

Και τέλος για τον υπερβρόχο:

$$B_3 : u_1(t) + u_2(t) = V_R + V_C \quad (3)$$

Λύνοντας την εξίσωση (3) ως προς  $V_R$  και με αντικατάσταση στην (1) παίρνουμε:

$$\ddot{V}_C + \frac{1}{RC}\dot{V}_C + \frac{1}{LC}V_C = \frac{1}{RC}u_1(t) + \frac{1}{RC}u_2(t) + \frac{1}{LC}u_2(t) \quad (4)$$

Ομοίως, λύνοντας την (3) ως προς  $V_C$  και με αντικατάσταση στην (1) παίρνουμε:

$$\ddot{V}_R + \frac{1}{RC}\dot{V}_R + \frac{1}{LC}V_R = \ddot{u}_1(t) + \frac{1}{LC}u_1(t) + \ddot{u}_2(t) \quad (5)$$

Εφαρμόζοντας Laplace Transform στην (4) έχουμε:

$$\begin{aligned} s^2V_C(s) + \frac{s}{RC}V_C(s) + \frac{1}{LC}V_C(s) &= \frac{s}{RC}u_1(s) + \frac{s}{RC}u_2(s) + \frac{1}{LC}u_2(s) \Leftrightarrow \\ V_C(s)(s^2 + \frac{s}{RC} + \frac{1}{LC}) &= \frac{s}{RC}u_1(s) + u_2(s)(\frac{s}{RC} + \frac{1}{LC}) \Leftrightarrow \\ V_C(s) &= u_1(s)\frac{\frac{s}{RC}}{s^2 + \frac{s}{RC} + \frac{1}{LC}} + u_2(s)\frac{\frac{s}{RC} + \frac{1}{LC}}{s^2 + \frac{s}{RC} + \frac{1}{LC}} \quad (6) \end{aligned}$$

Ομοίως, μετά από Laplace Transform στην (5) έχουμε:

$$\begin{aligned} V_R(s)(s^2 + \frac{s}{RC} + \frac{1}{LC}) &= u_1(s)(s^2 + \frac{1}{LC}) + s^2u_2(s) \Leftrightarrow \\ V_R(s) &= u_1(s)\frac{s^2 + \frac{1}{LC}}{s^2 + \frac{s}{RC} + \frac{1}{LC}} + u_2(s)\frac{s^2}{s^2 + \frac{s}{RC} + \frac{1}{LC}} \quad (7) \end{aligned}$$

Αν γράψουμε, τώρα, τις σχέσεις σε μορφή πινάκων ,προκύπτει:

$$\begin{bmatrix} V_C(s) \\ V_R(s) \end{bmatrix} = \begin{bmatrix} \frac{\frac{s}{RC}}{s^2 + \frac{s}{RC} + \frac{1}{LC}} & \frac{\frac{s}{RC} + \frac{1}{LC}}{s^2 + \frac{s}{RC} + \frac{1}{LC}} \\ \frac{s^2 + \frac{1}{LC}}{s^2 + \frac{s}{RC} + \frac{1}{LC}} & \frac{s^2}{s^2 + \frac{s}{RC} + \frac{1}{LC}} \end{bmatrix} \begin{bmatrix} u_1(s) \\ u_2(s) \end{bmatrix} \quad (8)$$

Παραμετροποιώντας γραμμικά την σχέση (4) προκύπτει:

$$\begin{aligned} \theta^* &= \begin{bmatrix} \frac{1}{RC} & \frac{1}{LC} & \frac{1}{RC} & 0 & \frac{1}{RC} & \frac{1}{LC} \end{bmatrix}^\top \\ \Delta &= [-\dot{V}_C \quad -V_C \quad u_1(t) \quad u_1(t) \quad u_2(t) \quad u_2]^\top \end{aligned}$$

$$\zeta = \left[ -\frac{s}{\Lambda(s)}y \quad -\frac{1}{\Lambda(s)}y \quad \frac{s}{\Lambda(s)}u_1 \quad \frac{1}{\Lambda(s)}u_1 \quad \frac{s}{\Lambda(s)}u_2 \quad \frac{1}{\Lambda(s)}u_2 \right]^\top$$

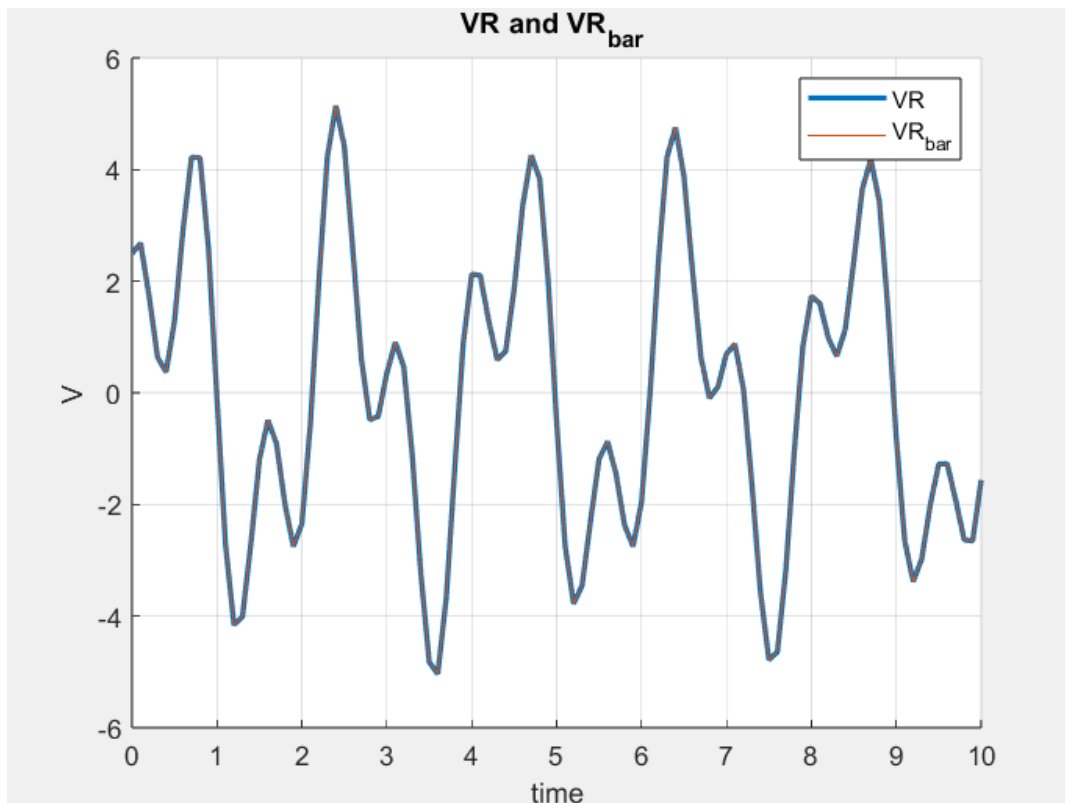
Ακολουθώντας την ίδια φιλοσοφία για την σχέση (5) παίρνουμε τα εξής διανύσματα μετά την γραμμικοποίηση (το φίλτρο  $\Lambda(s)$  παραμένει το ίδιο με πριν):

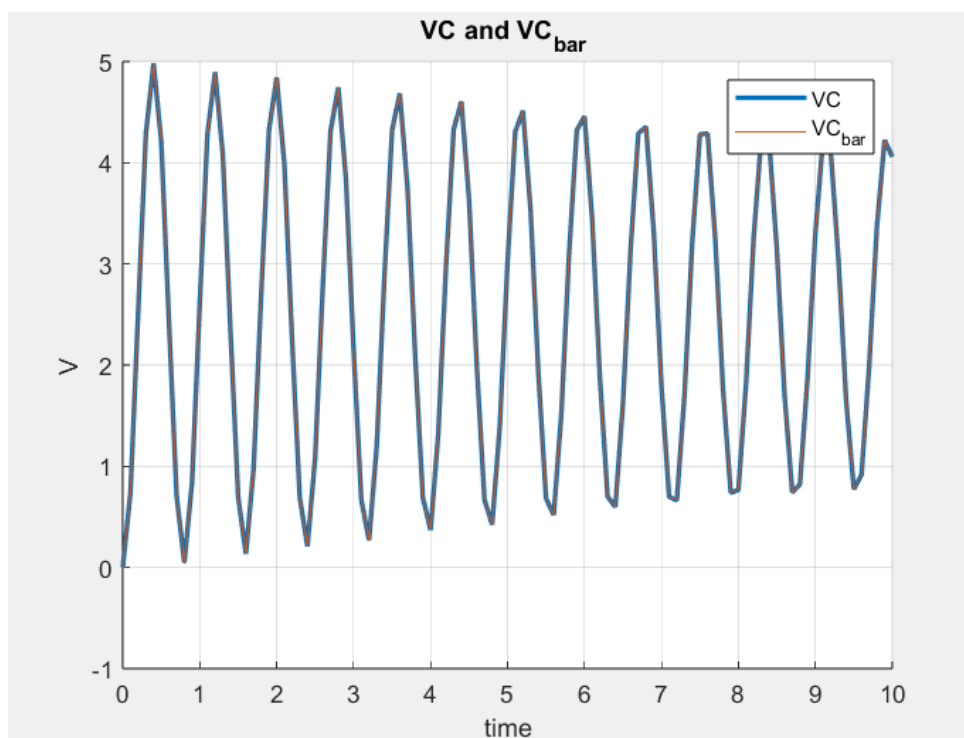
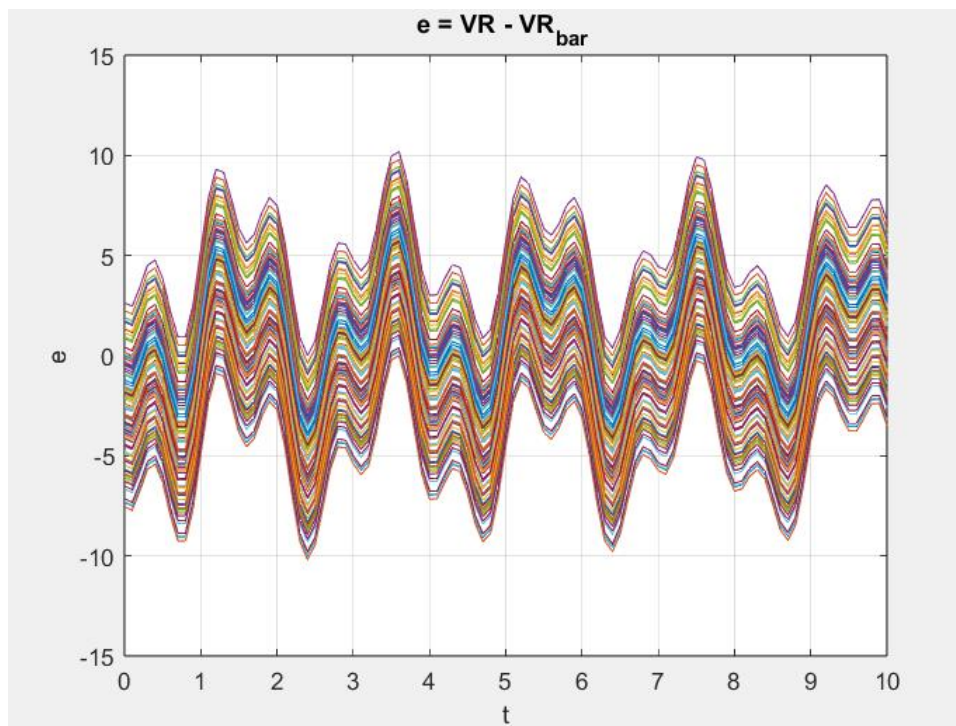
$$\theta^* = \left[ \frac{1}{RC} \quad \frac{1}{LC} \quad 1 \quad 0 \quad \frac{1}{LC} \quad 1 \quad 0 \quad 0 \right]$$

$$\Delta = [-\dot{V}_R - V_R \quad \dot{u}_1 \quad \dot{u}_1 \quad u_1 \quad \ddot{u}_2 \quad \dot{u}_2 \quad u_2]$$

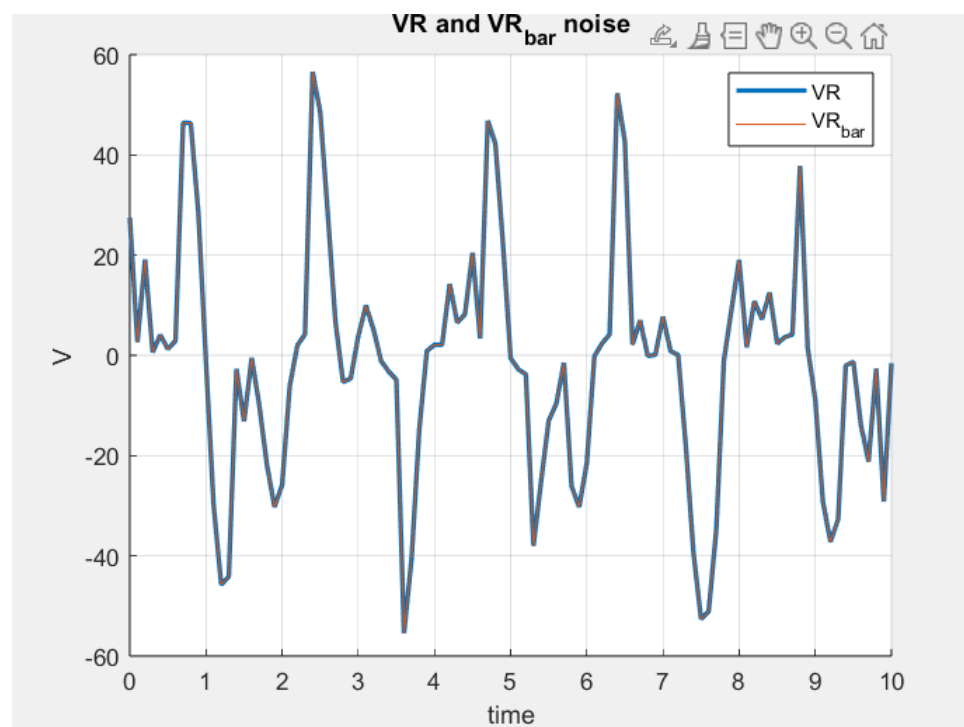
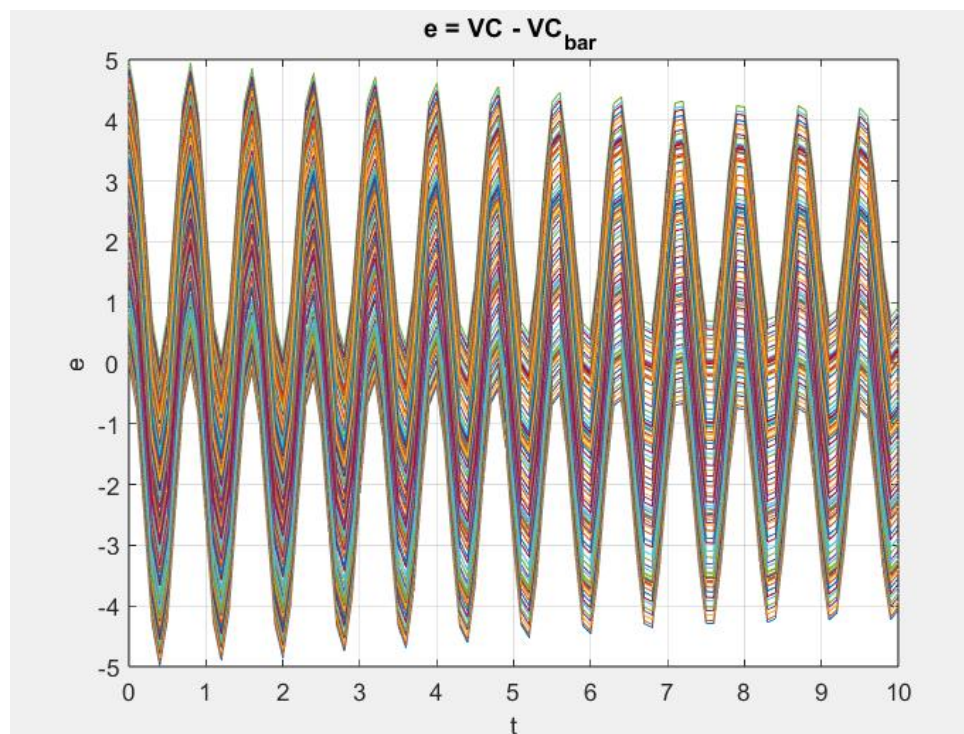
$$\zeta = \left[ -\frac{s}{\Lambda(s)} * y \quad -\frac{1}{\Lambda(s)} * y \quad \frac{s^2}{\Lambda(s)} * u_1 \quad \frac{s}{\Lambda(s)} * u_1 \quad \frac{1}{\Lambda(s)} * u_1 \quad \frac{s^2}{\Lambda(s)} * u_2 \quad \frac{s}{\Lambda(s)} * u_2 \quad \frac{1}{\Lambda(s)} * u_2 \right]$$

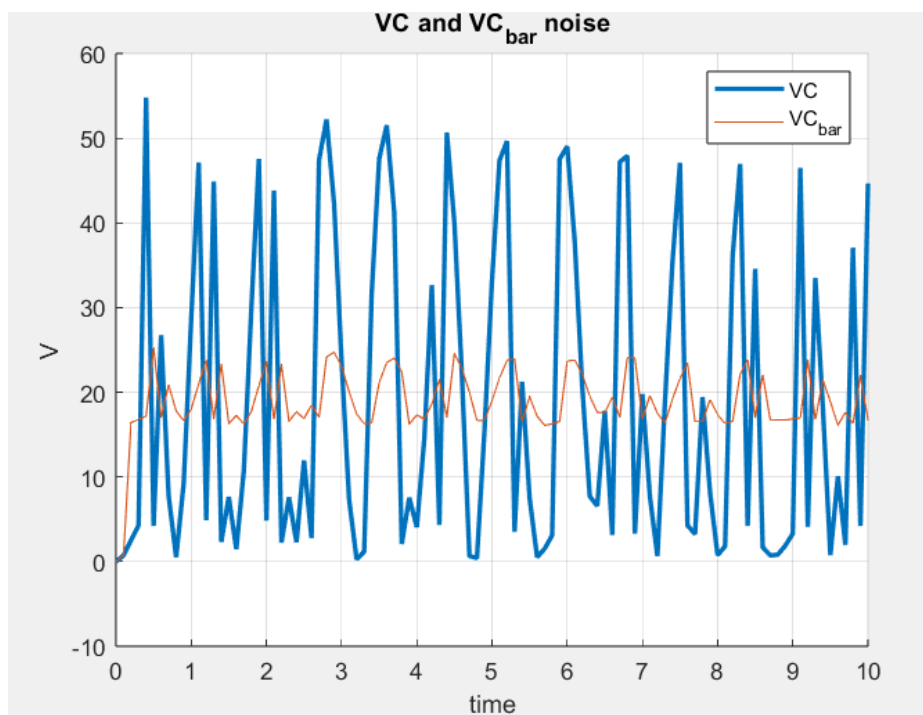
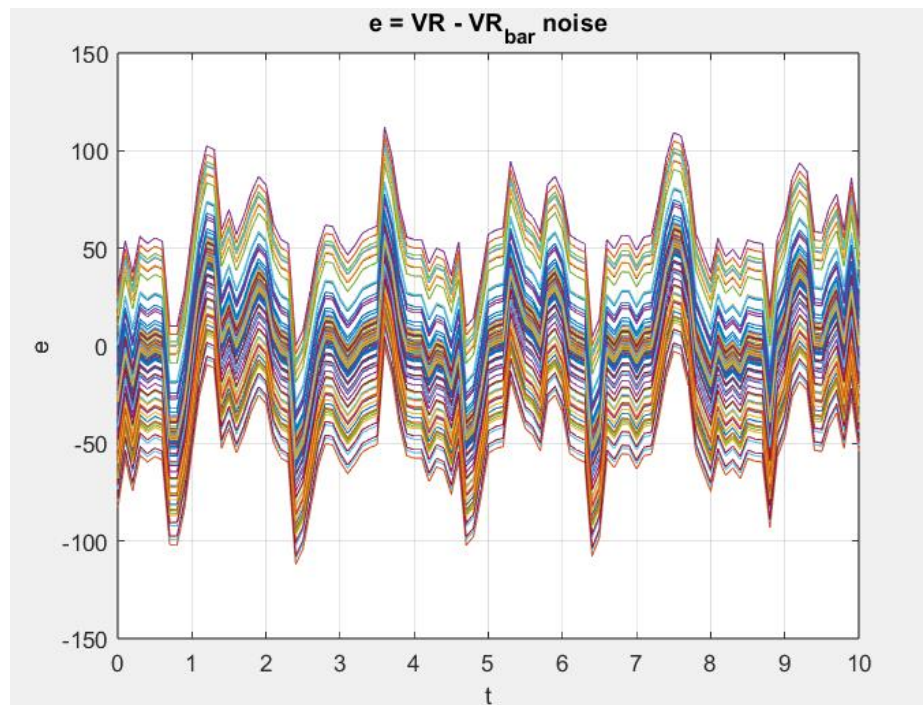
Από την ανάλυση στο *Matlab* προέκυψαν τα εξής γραφήματα:

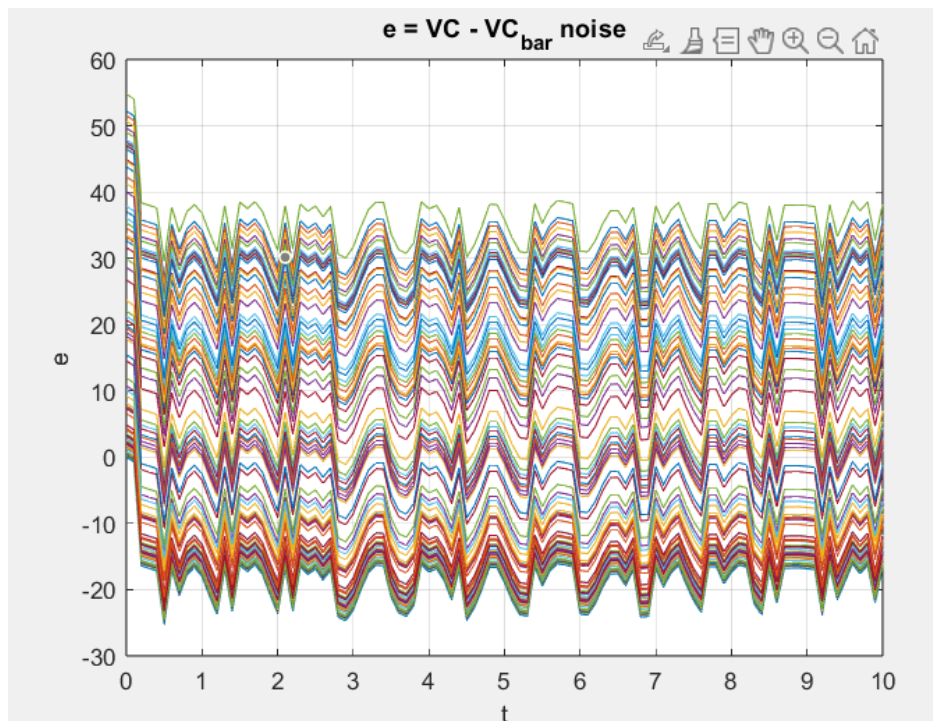












Παρατηρούμε ότι χωρίς την προσθήκη θορύβου, οι γραφικές παραστάσεις των εκτιμώμενων  $VC_{bar}$  και  $VR_{bar}$  φαίνεται να συμπίπτουν με τις γραφικές παραστάσεις των  $VC$  και  $VR$  της προσομοίωσης μέσω της συνάρτησης v.p. Αυτό σημαίνει ότι η εκτίμηση των παραμέτρων είναι ορθή.

Όμως, με την προσθήκη θορύβου παρατηρούμε ότι η  $VC_{bar}$  διαφέρει σημαντικά από την  $VC$ , ενώ η  $VR_{bar}$  φαίνεται να μην έχει επηρεαστεί ιδιαίτερα.